

Nuages de points et modélisation 3D

Normales, courbures et descripteurs

François GOULETTE



Contact : francois.goulette@mines-paristech.fr

Centre de Robotique
MINES ParisTech

Sommaire

1/ Normales et courbures

2/ Descripteurs et points d'intérêt

2

Centre de Robotique
MINES ParisTech

1/ Normales et courbures

1.1 Normales, repères, courbures

1.2 Calcul de normales par ACP

1.3 Calcul de courbures

3

Centre de Robotique
MINES ParisTech

Normale d'une surface

$\varphi : \begin{cases} V \subset \mathbb{R}^2 \rightarrow S \subset \mathbb{R}^3 \\ (u, v) \mapsto P = \varphi(u, v) \end{cases}$ φ de classe C^2

Système de coordonnées locales : $\varphi_u = \frac{\partial \varphi}{\partial u}$ $\varphi_v = \frac{\partial \varphi}{\partial v}$

Paramétrisation **régulière** si (φ_u, φ_v) linéairement indépendants
→ On définit le **plan tangent** au point P parallèle à (φ_u, φ_v)

→ et la **normale** par : $n = \frac{\varphi_u \times \varphi_v}{\|\varphi_u \times \varphi_v\|}$

4

Centre de Robotique
MINES ParisTech

Courbure de la surface

- Pour toute courbe passant au point P
 - Définie / paramét. unité de longueur s $X = \varphi(s)$
 - On peut définir sa courbure : $\kappa = \varphi''(s)$
 - Le vecteur peut se décomposer en partie normale et tangentielle à la surface en P
- La composante de la courbure normale à la surface :
 - Varie entre une valeur K_{\min} et K_{\max}
 - Les directions correspondantes sont perpendiculaires

5

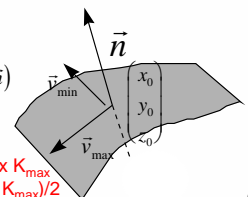
Centre de Robotique
MINES ParisTech

Courbures principales d'une surface

- Les courbures K_{\min} et K_{\max} sont appelées courbures principales de la surface
- Leurs directions sont dans le plan tangent.
 - Avec la normale, elles définissent le repère de Darboux $(\vec{v}_{\min}, \vec{v}_{\max}, \vec{n})$

Définitions :

Courbure gaussienne : $K = K_{\min} \times K_{\max}$
Courbure moyenne : $K = (K_{\min} + K_{\max})/2$



6

Centre de Robotique
MINES ParisTech

2/ Normales et courbures

2.1 Normales, repères, courbures

2.2 Calcul de normales par ACP

2.3 Calcul de courbures

7

Centre de Robotique
UNIVERSITÉ DE BORDEAUX

2.2 Calcul de normales par ACP

- On cherche le meilleur plan approché dans le voisinage d'un point X_{i0}

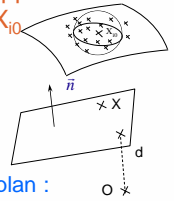
– Les m points du voisinage sont notés X_i

- Equation d'un plan :

$$n^T X = d \quad \|n\| = 1$$

– Distance signée d'un point au plan :

$$d(X_i, P) = n^T X_i - d$$



Centre de Robotique
UNIVERSITÉ DE BORDEAUX

Résolution par la méthode des moindres carrés

- Fonction à minimiser :

$$f(n, d) = \sum_{i=1}^m (n^T X_i - d)^2$$

4 Paramètres : n, d

1 contrainte $\|n\| = 1$

Centre de Robotique
UNIVERSITÉ DE BORDEAUX

Résolution de l'équation de minimisation pour le plan

- On pose

G : barycentre des points :

$$G = \frac{1}{m} \sum_{i=1}^m X_i$$

M_{cov} : matrice de covariance des points :

$$M_{\text{cov}} = \frac{1}{m} \sum_{i=1}^m (X_i - G)(X_i - G)^T$$

Centre de Robotique
UNIVERSITÉ DE BORDEAUX

Solution - ACP

- Le meilleur plan approché est défini par :
- Normale n_{\min} :
 - vecteur propre normé associé à la plus petite valeur propre de M_{cov}
 - NB : indéterminé à un changement de sens près
- Distance d_{\min} :

$$d_{\min} = n^T G$$

La solution fait appel à l'analyse des directions principales de la matrice de covariance : « Analyse en Composantes Principales » (ACP)

Centre de Robotique
UNIVERSITÉ DE BORDEAUX

Démonstration de la solution ACP

- S'il existe une solution, condition nécessaire au minimum :

$$\text{grad} f = 0$$

$$\Rightarrow \frac{\partial f}{\partial d} = 0$$

Centre de Robotique
UNIVERSITÉ DE BORDEAUX

- Or :

$$\frac{\partial \mathcal{F}}{\partial d} = -2 \sum_{i=1}^m (n^t X_i - d)$$

- D'où :

$$d = \frac{1}{m} \sum_{i=1}^m n^t X_i = n^t \left(\frac{1}{m} \sum_{i=1}^m X_i \right)$$

- Et donc :

$$d_{\min} = n^t G$$

2/ La fonction f pour la valeur de d au minimum, s'il existe, s'écrit :

$$\begin{aligned} f(n, d_{\min}) &= \sum_{i=1}^m (n^t X_i - d_{\min})^2 \\ &= \sum_{i=1}^m (n^t X_i - n^t G)^2 \\ &= \sum_{i=1}^m [n^t (X_i - G)]^2 \end{aligned}$$

- Ce qui s'écrit :

$$\begin{aligned} f(n, d_{\min}) &= \sum_{i=1}^m [n^t (X_i - G)] \times [(X_i - G)^t n] \\ &= \sum_{i=1}^m n^t (X_i - G) \times (X_i - G)^t n \\ &= n^t M_{\text{cov}} n \end{aligned}$$

- Par construction, la matrice M_{cov} est symétrique, positive, diagonalisable
- Pour tout vecteur n unitaire :

$$\lambda_{\min} \leq n^t M_{\text{cov}} n \leq \lambda_{\max}$$

- Le minimum de f est donc atteint pour le vecteur propre associé à la valeur propre minimale λ_{\min}

C.Q.F.D

Le repère local peut être défini par les trois vecteurs propres de M

Pseudo-code de calcul de normales

- Calcul d'un voisinage en X_0
 - (rayon ou nombre de points) \rightarrow n points
- Calcul de la normale et du repère local
 - par ACP
- Optionnel :
 - Etude de la valeur du résidu pour validation

Démo calcul normales CloudCompare

- Charger Bunny
- Calcul :
 - Edit \rightarrow Normals \rightarrow Compute
 - Local Surface Model : Plane (ACP)
 - Radius : auto
- Visualisation :
 - Décocher « normals »
 - Scalar Fields \rightarrow Dip Direction



2/ Normales et courbures

2.1 Normales, repères, courbures

2.2 Calcul de normales par ACP

2.3 Calcul de courbures

19

a) Géométrie différentielle

(étude locale de la surface)

- Paramétrisation : $\varphi: \begin{cases} V \subset \mathbb{R}^2 \rightarrow S \subset \mathbb{R}^3 \\ (u, v) \mapsto P = \varphi(u, v) \end{cases}$
- Déplacement infinitésimal (du, dv)
 - sur la surface autour du point P
- Expression de la forme différentielle dφ
 - Dérivées au premier ordre

$$d\varphi = \varphi_u du + \varphi_v dv$$

$$= J \begin{pmatrix} du \\ dv \end{pmatrix}$$

$$J = \begin{pmatrix} \varphi_u & \varphi_v \end{pmatrix}$$

Matrice Jacobienne (3x2)

20

Première forme fondamentale

- Définition :
 - Forme différentielle définie par :

$$DF_I(u, v) = d\varphi^t d\varphi = \begin{pmatrix} du & dv \end{pmatrix} J^t J \begin{pmatrix} du \\ dv \end{pmatrix}$$

$$I(u, v) = J^t J$$
 - NB : ne fait intervenir que les dérivées premières
- Propriété :
 - Première forme fondamentale et abscisse curviligne s
$$ds^2 = DF_I(u, v)$$

21

Deuxième forme fondamentale

- Définition :
 - Forme différentielle définie par :

$$DF_{II}(u, v) = -d\varphi^t dn = \begin{pmatrix} du & dv \end{pmatrix} II \begin{pmatrix} du \\ dv \end{pmatrix}$$
 - NB : fait intervenir les dérivées premières et secondes

22

Courbures principales

Les courbures principales K_{\min} et K_{\max} sont les solutions de l'équation de 2^e degré :

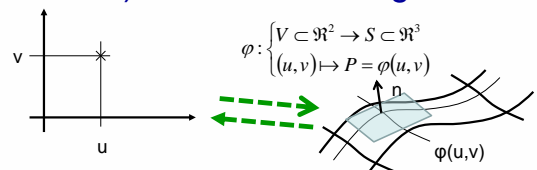
$$x^2 - Sx + P = 0$$

Avec :

$$\begin{cases} S = \text{Tr}(-II \times I^{-1}) \\ P = \det(-II \times I^{-1}) \end{cases}$$

23

b) Surface de Monge



Paramétrisation d'une surface par un difféomorphisme du type :

$$\varphi: \begin{cases} V \subset \mathbb{R}^2 \rightarrow S \subset \mathbb{R}^3 \\ (u, v) \mapsto P = \begin{pmatrix} u & v & f(u, v) \end{pmatrix} \end{cases}$$

Défini dans un repère local à la surface (plan tangent)

La classe de φ est la même que celle de f (e.g. C² si f est C²)

24

Formes fondamentales

- surface de Monge -

Jacobien : $J = (\varphi_u \quad \varphi_v) = \begin{pmatrix} 1 & 0 \\ f_u & f_v \end{pmatrix}$

Normale : $n = \frac{(-f_u \quad -f_v \quad 1)^T}{\sqrt{1+f_u^2+f_v^2}}$

Première forme fondamentale : $I = \begin{pmatrix} 1+f_u^2 & f_u f_v \\ f_u f_v & 1+f_v^2 \end{pmatrix}$

Deuxième forme fondamentale : $II = \frac{1}{\sqrt{1+f_u^2+f_v^2}} \begin{pmatrix} f_{uu} & f_{uv} \\ f_{uv} & f_{vv} \end{pmatrix}$

25

Centre de Robotique
UNIVERSITÉ DE LYON

c) Calcul de courbures par surface bi-quadratique

- cas particulier de surface de Monge -

- On cherche la meilleure surface bi-quadratique approchée dans le voisinage d'un point X_0
 - Les n points du voisinage sont notés X_i



Repère local à la surface,
centré sur le point d'intérêt, (XY) = plan tangent

$$P(u, v) = (u, v, f_a(u, v))$$

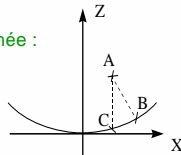
$$f_a(u, v) = a_1 + a_2 u + a_3 v + a_4 u^2 + a_5 uv + a_6 v^2$$

Centre de Robotique
UNIVERSITÉ DE LYON

Distance approchée d'un point à la surface

On utilise la distance (signée) approchée :

$$d(X_i, S) = z_i - f_a(x_i, y_i)$$



(approximation mais permet une résolution linéaire)

Centre de Robotique
UNIVERSITÉ DE LYON

Résolution par la méthode des moindres carrés

- Fonction à minimiser :

$$g(a) = \sum_{i=1}^n [z_i - f_a(x_i, y_i)]^2$$

6 paramètres (a) ; pas de contrainte

Centre de Robotique
UNIVERSITÉ DE LYON

Résolution de la minimisation pour la surface bi-quadratique

- On réécrit $f_a(x, y)$:

$$f_a(x, y) = a_1 + a_2 x + a_3 y + a_4 x^2 + a_5 xy + a_6 y^2$$

$$f_a(x, y) = a^T Q(x, y)$$

- et la fonction g à minimiser :

$$g(a) = \sum_{i=1}^n [z_i - a^T Q(x_i, y_i)]^2$$

Centre de Robotique
UNIVERSITÉ DE LYON

Solution

- En notant M la matrice 6×6 :

$$M = \sum_{i=1}^n Q(x_i, y_i) \times Q(x_i, y_i)^T$$

- et D le vecteur à 6 composantes :

$$D = \sum_{i=1}^n z_i \times Q(x_i, y_i)$$

- Si M est inversible, le vecteur solution de la minimisation vaut :

$$a = M^{-1} \times D$$

Centre de Robotique
UNIVERSITÉ DE LYON

Démonstration

- Au minimum s'il existe, le gradient de f est nul

$$\nabla_a f = 0$$

- Le gradient vaut :

$$\nabla_a f = -\frac{1}{n_{ddl}} \sum_{i=1}^n 2[z_i - a'Q(x_i, y_i)] \times Q(x_i, y_i)$$

Centre de Robotique
UNIVERSITÉ DE LYON

- Par équivalence, on a :

$$\nabla_a \text{Res} = 0$$

$$\Leftrightarrow -\frac{1}{n_{ddl}} \sum_{i=1}^n 2[z_i - a'Q(x_i, y_i)] \times Q(x_i, y_i) = 0$$

$$\Leftrightarrow \sum_{i=1}^n z_i \times Q(x_i, y_i) = \sum_{i=1}^n [a'Q(x_i, y_i)] \times Q(x_i, y_i)$$

$$\Leftrightarrow \sum_{i=1}^n z_i \times Q(x_i, y_i) = \sum_{i=1}^n Q(x_i, y_i) \times [Q(x_i, y_i)'a]$$

$$\Leftrightarrow \sum_{i=1}^n z_i \times Q(x_i, y_i) = \sum_{i=1}^n [Q(x_i, y_i) \times Q(x_i, y_i)'] \times a$$

$$\Leftrightarrow M \times a = D$$

Centre de Robotique
UNIVERSITÉ DE LYON

- La matrice M est par définition positive.
- Si M est inversible, il existe une solution au problème de minimisation :

$$a = M^{-1} \times D$$

- On montre que le Hessien vaut :

$$H = 2M$$

- C'est une matrice positive donc la solution trouvée est bien un minimum

C.Q.F.D

Centre de Robotique
UNIVERSITÉ DE LYON

... puis les courbures principales

- Expression de la normale en $(0,0)$ d'une surface bi-quadratique :

$$\vec{n} = \frac{1}{\sqrt{1+a_2^2+a_3^2}} \begin{bmatrix} -a_2 \\ -a_3 \\ 1 \end{bmatrix}$$

Centre de Robotique
UNIVERSITÉ DE LYON

- Courbures principales :

- somme S et produit P :

$$\begin{cases} S = 2 \frac{(1+a_2^2) \times a_6 + (1+a_3^2) \times a_4 - a_2 a_3 a_5}{(1+a_2^2+a_3^2)^{3/2}} \\ P = \frac{4a_4 a_6 - a_5^2}{(1+a_2^2+a_3^2)^{3/2}} \end{cases}$$

$$-K_{\max} \text{ et } K_{\min} : \begin{cases} K_{\max} = \frac{S + \sqrt{S^2 - 4P}}{2} \\ K_{\min} = \frac{S - \sqrt{S^2 - 4P}}{2} \end{cases}$$

Centre de Robotique
UNIVERSITÉ DE LYON

Pseudo-code de calcul de courbures

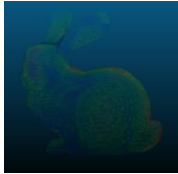
- Calcul d'un voisinage en X_0
 - (rayon ou nombre de points) $\rightarrow n$ points
- Calcul de la normale et du repère local
 - par ACP
- Calcul des points du voisinage dans le repère local
 - Transformation affine (rotation – translation)
- Calcul du vecteur paramètres a
 - Expression des courbures principales

Centre de Robotique
UNIVERSITÉ DE LYON

Démo calcul courbures

CloudCompare

- Charger Bunny
- Calcul :
 - Tools -> Other -> Geometric Features
 - Curvature : Mean, Gaussian
 - Radius : 0.05
- Visualisation :
 - Décocher « normals »
 - Scalar Fields
 - Mean, Gaussian,



38

Centre de Robotique
UNIVERSITÉ DE LYON

Sommaire

1/ Normales et courbures

2/ Descripteurs et points d'intérêt

39

Centre de Robotique
UNIVERSITÉ DE LYON

2.1 Points d'intérêt

- Point d'intérêt / point caractéristique
 - Point de la **scène** ou de l'**objet** facile et robuste à identifier entre plusieurs conditions d'observation
- Notions équivalentes :
 - Cibles (topographie)
 - Amers (navigation ; robotique)



Points Harris 3D sur des modèles synthétiques [Spiran, et al., 2010]

40

Centre de Robotique
UNIVERSITÉ DE LYON

Usages des points d'intérêt

- Stéréovision (2D)
 - Appariements entre images
- Recalage (2D, 3D)
 - Rigide, non rigide
- Navigation (2D, 3D)
 - Points de repères
- Détection, reconnaissance, classification (2D, 3D)
 - Comparaison avec des bases d'objets

41

Centre de Robotique
UNIVERSITÉ DE LYON

Détecteurs et descripteurs

- Détecteur :
 - **Identifie et localise** un point d'intérêt
- Descripteur // *features*
 - Associe au point identifié une **signature**
 - Représentation descriptive locale
 - Cette signature facilitera les **comparaisons** entre images
- Certaines méthodes associent les deux
 - Détecteur / descripteur

42

Centre de Robotique
UNIVERSITÉ DE LYON

Détecteurs / descripteurs sur nuages de points

- Besoin de description locale des courbes et surfaces
 - Basés sur **normales, courbures, etc.**
- Quelques détecteurs :
 - Local Surface Patches (LSP) (Chen, et al., 2007), Classification selon SI (Hozati, 2009), KeyPoint Quality (KPQ) (Mian, et al., 2009), Harris 3D (Spiran, et al., 2010), SC et HK multi-échelle (Akagunduz, et al., 2009), SURF 3D (Knopp, et al., 2010), Courbure multi-échelle (Ho, et al., 2009), THRIFT (Flint, et al., 2007).
- Quelques descripteurs :
 - LSP, THRIFT, SURF 3D, Spin (Johnson, et al., 1999), SHOT (Tombari, et al., 2010) et CSHOT (Tombari, et al., 2011).

[Shaiek 2013]

43

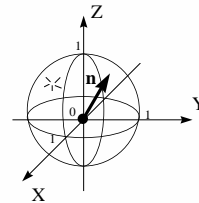
Centre de Robotique
UNIVERSITÉ DE LYON

2.2 Descripteurs basés sur les normales

- Sphère Gaussienne
- Spin Image

44

Normales et Sphère Gaussienne

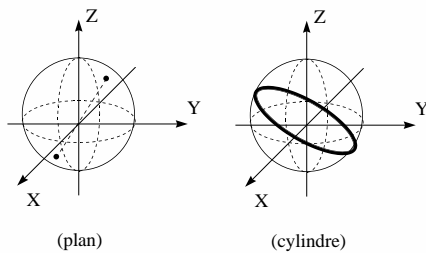


Les normales sont normées. On les représente par leurs extrémités sur la sphère de rayon unité.

Représentation locale ou globale

[Hom 84, etc.]

Centre de Robotique

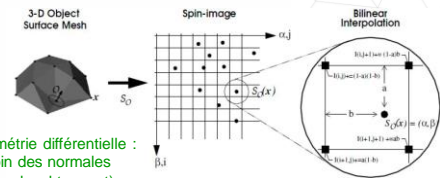


Représentation d'un plan et d'un cylindre sur la Sphère Gaussienne

Centre de Robotique

Descripteur « Spin Image »

- Description de points d'intérêt [Johnson, et al., 1999]
- Images d'accumulation 2D
 - coordonnées cylindriques
 - repère local au point d'intérêt



Géométrie différentielle :
Besoin des normales
(repère local tangent)

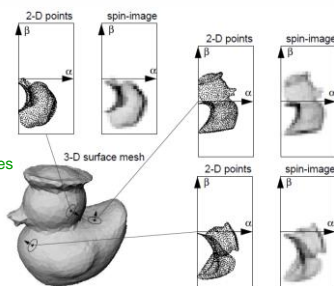
47

Centre de Robotique

Exemple de création de « Spin Images »

Pour 3 points d'intérêt :

- Nuage de points en coordonnées cylindriques locales
- « Spin Images » résultantes



48

Centre de Robotique

2.3 Descripteurs basés sur les courbures

- Courbures principales
- Labels H-K et variantes
- Graphe Global de Courbures

49

Centre de Robotique

Courbures et cartes de labels H-K

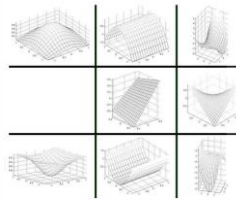
- Les courbures sur une surface sont représentées par des labels,
 - fonction des courbures moyenne et gaussienne H et K :

$$\begin{cases} H = \frac{K_{\max} + K_{\min}}{2} \\ K = K_{\max} \times K_{\min} \end{cases}$$

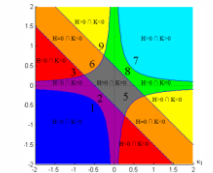
Centre de Robotique
UNIVERSITÉ DE LYON

Cartes de labels H-K

[Besl and Jain 88]



Difficulté numérique de valeurs nulles exactes : choix d'un seuil ϵ



Classification HK dans le plan (k1, k2)
[Akagündüz, 2011]

	K<0	K=0	K>0
H>0	Convex ⁽¹⁾ (Elliptic or Umbilic)	Ridge ⁽²⁾ (Convex Parabolic)	Saddle Ridge ⁽³⁾ (Hyperbolic)
H=0	(Not possible) ⁽⁴⁾	Planar ⁽⁵⁾	Minimal ⁽⁶⁾
H<0	Concave ⁽⁷⁾ (Elliptic or Umbilic)	Valley ⁽⁸⁾ (Concave Parabolic)	Saddle Valley ⁽⁹⁾ (Hyperbolic)

51

Centre de Robotique
UNIVERSITÉ DE LYON

Courbures et indices SC

$$\begin{cases} C = \sqrt{\frac{K_{\max}^2 + K_{\min}^2}{2}} \\ S = \frac{2}{\pi} \arctan\left(\frac{K_{\max} + K_{\min}}{K_{\max} - K_{\min}}\right) \end{cases}$$

[Koenderink 90,
Koenderink and van Doorn 92]

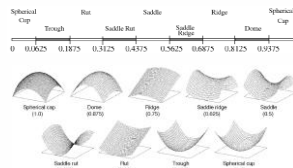
Deux types de paramètres dissociés :

- dimensionnel (C) : Curvedness « Intensité de courbure »
- a-dimensionnel (S) : Shape « Type de forme »

52

Centre de Robotique
UNIVERSITÉ DE LYON

Carte de labels SC



Types de formes selon la valeur de S

Convex (Elliptic) ⁽¹⁾	S [-5/8, 1] / C < C _{max}
Convex (Parabolic) ⁽²⁾	S [-3/8, -5/8] / C < C _{max}
Saddle Ridge ⁽³⁾	S [-3/8, -3/8] / C < C _{max}
Planar ⁽⁴⁾	C < C _{max}
Hyperbolic ⁽⁵⁾	S [-3/8, -3/8] / C < C _{max}
Concave (Elliptic) ⁽⁶⁾	S [-1, -5/8] / C < C _{max}
Concave (Parabolic) ⁽⁷⁾	S [-5/8, -3/8] / C < C _{max}
Saddle Valley ⁽⁸⁾	S [-3/8, -3/8] / C < C _{max}

Labels selon les valeurs de S et C

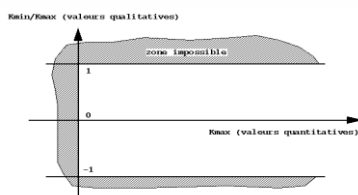
53

Centre de Robotique
UNIVERSITÉ DE LYON

Grphe Global de Courbures

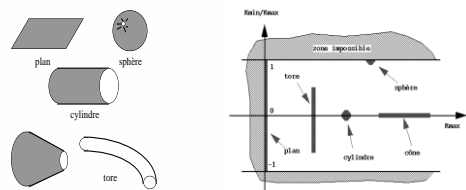
- Représentation globale des courbures
 - Distinction entre grandeurs dimensionnelles (Kmax, axe X) et adimensionnelles (Kmin/Kmax, axe Y)

Convention de normale sortante (→ K_{max} positif)



Centre de Robotique
UNIVERSITÉ DE LYON

Intérêt du GGC pour des primitives géométriques simples



Primitive	K _{max}	K _{min}
Plan	0	0
Sphère	1/R	1/R
Cylindre	1/R	0
Cône	[a,b]	0
Tore	1/r	[-1/(R-r), 1/(R+r)]

[Goulette 97]

Centre de Robotique
UNIVERSITÉ DE LYON

Evolution des détecteurs et descripteurs // apprentissage

- **Descripteurs basés sur géométrie**
 - Revisités par des descriptions apprises sur des « features » bas niveau
 - Basés sur valeurs propres, vecteurs propres ACP
- **Détecteurs**
 - Limiter nombre de points d'intérêt
 - Revisité : informations denses
- **Utilisés dans méthodes d'apprentissage**

56

Centre de Robotique
UNIVERSITÉ DE LYON

Descripteurs basés ACP

Ces descripteurs sont basés sur des éléments calculés par ACP : valeurs propres, normale (vecteur propre)

$$\lambda_1 \geq \lambda_2 \geq \lambda_3$$

$$verticality = \left| 1 - \frac{2angle(\mathbf{n}, \mathbf{e}_z)}{\pi} \right| = \frac{2 \arcsin(|(\mathbf{n}, \mathbf{e}_z)|)}{\pi}$$

$$linearity = 1 - \frac{\lambda_2}{\lambda_1}$$

$$planarity = \frac{\lambda_2 - \lambda_3}{\lambda_1}$$

$$sphericity = \frac{\lambda_3}{\lambda_1}$$

Intègrent des éléments différentiels d'ordre 0 ou 1 (pas les courbures)

57

Centre de Robotique
UNIVERSITÉ DE LYON

FIN Ce qui a été vu aujourd'hui

1/ Normales et courbures

2/ Descripteurs et points d'intérêt

58

Centre de Robotique
UNIVERSITÉ DE LYON

Références

- [Goulette 97] Thèse F. Goulette, ENSMP
- [Struik 50] Classical Differential Geometry
- Bronstein A., Bronstein M., Kimmel R. (2008). Numerical geometry of non-rigid shapes. Springer. <http://www.cs.technion.ac.il/~mbron/>
- Andrew Pressley, Elementary differential geometry, Springer
- Barrett O'Neill, Elementary Differential geometry
- Manfredo DoCarmo, Differential Geometry of Curves and Surfaces
- Horn 84
- Akagündüz, 2011
- Koenderink 90,
- Koenderink and van Doorn 92
- Moravec 77
- Sipiran, et al., 2010

59

Centre de Robotique
UNIVERSITÉ DE LYON

Références (2)

- Shaiek 2013
- Local Surface Patches (LSP) (Chen, et al., 2007),
- Classification selon SI (Hozatli, 2009),
- KeyPoint Quality (KPQ) (Mian, et al., 2009),
- SC et HK multi- échelle (Akagunduz, et al., 2009),
- SURF 3D (Knopp, et al., 2010),
- Courbure multi- échelle (Ho, et al., 2009),
- THRIFT (Flint, et al., 2007).
- Spin (Johnson, et al., 1999),
- SHOT (Tombari, et al., 2010)
- CSHOT (Tombari, et al., 2011).
- Chaine et al. 1999
- Medioni et al. xx

60

Centre de Robotique
UNIVERSITÉ DE LYON